

## تأثیر تغییر مشخصات لایه‌های خاک بر پاسخ سیستم خاک - شمع تحت بار زلزله

صادم میرمحمد رضائی (دانشجوی کارشناسی ارشد)

علی اکبر گلشنی \* (استادیار)  
دانشکده فنی و مهندسی، دانشگاه تربیت مدرس

در این مطالعه با استفاده از نرم‌افزار تفاضل محدود FLAC 3D، اثر تغییر مشخصات خاک به صورت تغییر پارامتر سختی در دو لایه‌ی رسی نرم و سخت بر رفتار خاک - شمع تحت بار زلزله بررسی می‌شود. تحلیل دینامیکی با استفاده از شتاب‌نگاشت ورودی سنگ بدست برای بررسی عوامل مؤثر در اندرکنش انجام می‌شود. نتایج حاصل از تحلیل به صورت تاریخچه‌ی زمانی شتاب، و نیز تبدیل فوریه‌ی سریع شتاب سرشار نسبت به میدان آزاد در حوزه‌ی فرکانسی ارائه می‌شوند. براساس نتایج حاصل از تحلیل، تفاوت سختی لایه‌های خاک تأثیر به سزایی در اندرکنش خاک - شمع دارد، به طوری که دولایه در نظر گرفتن خاک (لایه‌ی نرم بر روی لایه‌ی سخت) - علی‌رغم افزایش سختی آن - حالت بحرانی تری از خاک یک‌لایه‌ی نرم را نشان می‌دهد و کم‌ترین میزان اندرکنش، جایه‌جایی و لنگر بیشینه مربوط به حالت خاک یک‌لایه است.

samad\_mmr@yahoo.com  
golshani@modares.ac.ir

واژگان کلیدی: تحلیل دینامیکی، اندرکنش سینماتیکی، رفتار خاک - شمع، بار زلزله، تغییر مشخصات خاک، تبدیل فوریه‌ی سریع، تاریخچه‌ی زمانی شتاب.

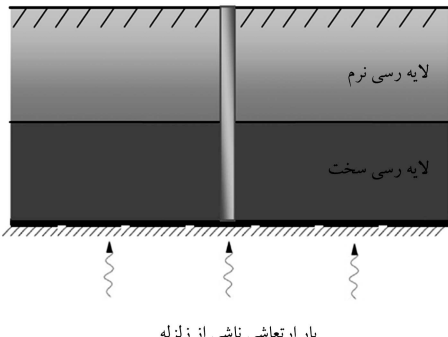
### ۱. مقدمه

نمایش المان‌های شمع استفاده شد. این مدل دو حالت «تسیلیم خاک» و «ایجاد درزه بین شمع و خاک پیرامونی» را ترکیب کرد. برای مدل‌سازی رفتار غیرخطی خاک از یک مدل خطی معادل استفاده شده است که در آن به جای انجام تغییرات مدول برشی با کرنش، یک مقدار مؤثر منفرد برای تاریخچه‌ی زمانی کامل به کار رفته است. در مدل شمع ممنوع، جرم روسازه به شکل جسمی صلب است و حرکت آن توسط جرمی متتمرکز در مرکز نقل آن نمایش داده می‌شود. از المان تیر بسیار سخت با صلابت پیچشی ۱۰۰۰ برای شمع، برای اتصال شمع و روسازه استفاده می‌شود. روش پیشنهادی المان محدود، همچنین برای یافتن ضرایب سختی و میرایی وابسته به زمان - که هر یک برای تحلیل پی‌های در معرض ارتعاش زلزله مفیدند - کاربرد دارد. در سال ۲۰۰۰ یک روش بررسی سیستم المان محدود سه‌بعدی غیرخطی خاک - شمع توصیه شد که در آن از المان‌های شش‌وجهی هشتگرهی برای مدل‌سازی شمع و خاک استفاده شد.<sup>[۱]</sup> از المان‌های تیرستون دوگرهی که دارای شش درجه آزادی برای هرگره است، برای مدل‌سازی قاب سه‌بعدی روسازه بقیه استفاده می‌شود. همچنین از لایه‌های نازک هشتگرهی المان‌های صلب متقاضان برای ترکیب مودهای تغییر شکل اتصالی، لغزشی و انگکاسی سطح مشترک شمع - خاک استفاده شده است. اندرکنش سینماتیکی و لختی رامی توان همزمان با استفاده از این مدل شبیه‌سازی کرد. از المان‌های نامحدود دینامیکی برای شبیه‌سازی محیط نامحدود استفاده شده است. رکورد حرکت زمین در زلزله به عنوان حرکت سنگ بستر

با ابداع نرم‌افزارهای جدید تحلیل دینامیکی، و نیز سهولت و سرعت بیشتر تحلیل دینامیکی سازه‌ها تحت تأثیر شتاب‌نگاشت‌های لرزه‌یی که به مدل‌سازی‌های واقع گرایانه‌تر و شرایط محیطی دقیق ترمی انجام‌مند، درخصوص تأثیر عوامل مختلف بر انواع سازه، شرایط محیط پیرامونی و اندرکنش خاک - سازه از دیدگاه‌های مختلف مهندسی عمران - اعم از ژئوتکنیک، مهندسی سازه، مهندسی زلزله یا تلقیقی از آن‌ها - تحقیقات بسیاری انجام شده است. در مطالعات انجام‌شده درخصوص تحلیل دینامیکی شمع‌ها، تأثیرات عواملی چون در نظر گرفتن مدل خاک خمیری، تغییر سختی خاک به صورت خطی، یا تغییر فرکانس ارتعاش محیط مورد بررسی قرار گرفته است. نتایج حاصل از بررسی هرکدام از این عوامل، در طراحی بهینه‌ی شمع‌ها و اصلاح پی‌های شمعی در برابر بارهای جانبی ناشی از زلزله کاربرد بهسزای داشته است.<sup>[۲]</sup>

برای تحلیل کنسان دینامیکی و غیرخطی اندرکنش خاک - شمع - سازه، محققین روش المان محدود شبه سه‌بعدی را پیشنهاد کردند.<sup>[۳-۴]</sup> در این مدل از میراگرهایی برای شبیه‌سازی محیط نامتناهی خاک استفاده شده است. از المان‌های آجری هشتگرهی برای نمایش المان‌های خاک، و از المان‌های تیر دوگرهی برای

\* نویسنده مسئول  
تاریخ: دریافت ۱۳۸۸/۷/۵، اصلاحیه ۳، ۱۳۸۹/۶/۱۹، پذیرش ۱۳۸۹/۷/۱۹.



شکل ۱. نمونه‌بی از مدل مورد نظر برای آنالیز تغییر مشخصات خاک.

### ۱.۱. زمینه‌ی بررسی اندرکنش خاک‌شمع

پیش‌بینی رفتار شمع‌ها و گروه شمع‌ها در طول زمین‌لرزه‌ها، هنوز هم برای مهندسین ژئوتکنیک مسئله‌ی بحث برانگیزی است. ویرانی سازه‌ها ناشی از زمین‌لرزه‌ها همچنان ادامه می‌باید (زلزله‌ی کوبه<sup>۳</sup>، ۱۹۹۴؛ زلزله‌ی نورتریج<sup>۴</sup>، ۱۹۹۴). روابط بسیاری پیرامون قوانین متداول و روش‌های مورد استفاده برای طراحی سازه‌ها و پی‌ها وجود دارد. لزوم رعایت خاصیت غیرخطی بودن هندسه و مواد در طراحی پی به دنبال گسیختگی‌های فونداسیون ناشی از زلزله‌های اخیر، همانند زلزله‌ی باز<sup>۵</sup> (۲۰۰۱)، زلزله‌ی چی‌چی<sup>۶</sup> (۱۹۹۹)؛ و زلزله‌ی کوکایلی<sup>۷</sup> به اثبات رسیده است. طراحی سیستم پی - روسازه برای بارهای زلزله، باید در محاسبه‌ی اثرات پی روی حرکت زمین بر اثر زلزله، اثر تسلیم پی روی بارهای حمل شده به وسیله‌ی سازه، و اثرات بارهای لختی<sup>۸</sup> تحمیل شده به وسیله‌ی سازه مستقر بر پی درنظر گرفته شود. تأثیر پی بر حرکت زمین تحت زلزله را «اندرکنش سینماتیکی»، و اثر تسلیم پی بر پاسخ سازه‌ی و اثر بارهای لختی بر پی را «آندرکنش لختی» می‌نامند.<sup>[۸]</sup>

در گذشته به شتاب‌ها، سرعت‌ها یا جابه‌جاوی‌های میدان آزاد، به عنوان حرکت ورودی برای طراحی لرزه‌ی سازه‌ها -- بدون درنظر گرفتن اثرات اندرکنش سینماتیکی -- توجه خاصی می‌شد، اگرچه بدليل وابستگی مسئله‌ی اندرکنش به مشخصات خاک، خواص و ابعاد شمع و فرکانس تحریک، پاسخ شمع ممکن است بیشتر یا کمتر از پاسخ میدان آزاد باشد. در طراحی مناسب سازه‌ها و پی آن‌ها، باید هر دو این اثرات (اندرکنش‌های سینماتیکی و لختی)، به طور دقیق محاسبه شوند.<sup>[۹]</sup>

### ۱.۲. روش تفاضل محدود صریح

تفاضل محدود صریح یکی از روش‌های قدیمی در حل دسته معادلات دیفرانسیل با مقادیر اولیه و مقادیر مرزی است. در این روش هر مشتق در معادلات حاکم، مستقیماً جایگزین عبارتی جبری می‌شود که تابع متغیرهای میدان نتش یا تغییر مکان در نقطه‌ی دلخواه در فضاست.

برخی تصور می‌کنند که روش تفاضل محدود فقط به شبکه‌های المانی مستطبی محدود می‌شود؛ در حالی که با استفاده از روش ارائه شده برای بدست آوردن معادلات تفاضلی المان‌های دارای شکل دلخواه، می‌توان هر نوع شکلی را برای المان‌ها تعریف کرد. اساس نرم‌افزار «آنالیز سریع لاگرانژی پیوسته در سه بعد (3D FLAC<sup>۹</sup>)» معادلات روش تفاضل محدود صریح است که بر طرف‌گذشته‌ی تمامی نیازهای حل مسئله‌ی محیط پیوسته‌ی خاکی است. اگرچه در حل مسائل ایستانتیار می‌رود 3D FLAC حل ایستای مسئله را بیابد، اما در واقع در فرمول‌بندی معادلات دینامیکی حرکت مورد ملاحظه، قرار گرفته‌اند. در مواجهه با مصالح غیرخطی، همیشه امکان

برای این مطالعه مورد استفاده قرار می‌گیرد. محققین نتیجه گرفتند که مدل خاک در حالت خمیری، به‌طور قابل توجهی پاسخ پی شمعی را از حرکت سنگ بستر منحرف می‌کنند.<sup>[۱۰]</sup> در همین زمان، یک مدل المان محدود و ساده‌شده برای تحلیل اندرکنش دینامیکی غیرخطی شمع - خاک برای یک شمع منفرد توسعه یافت. در این تحقیق مدل سازی تغییرشکل و تغییرات فشار آب حفره‌ی بوسیله‌ی بالابردن و الاف فشار حفره‌ی به صورت همزمان انجام می‌شود. در این مدل خاک که از قابلیت توصیف رفتار نتش - کرشن ماسه‌ی روان‌گرا برخوردار است، از المان‌های تیر برای مدل سازی شمع و از المان‌های هشت‌گره‌ی برای مدل سازی خاک استفاده می‌شود. همچنین یک نسخه‌ی مقیاس شده از زلزله‌ی کوبه به عنوان حرکت ورودی مورد استفاده قرار گرفته است.<sup>[۱۱]</sup> در سال ۲۰۰۴ نیز پژوهش‌گران روش المان محدود سه‌بعدی را برای بازیبینی اثرات حالت خمیری خاک (به‌انضمام عمل سخت‌شدنگی) و جدایی در سطح مشترک<sup>۱۲</sup> خاک و شمع، روی پاسخ دینامیکی یک شمع منفرد و گروه شمع‌ها بسط دادند.<sup>[۱۳]</sup> در این روش شمع با یک ماده‌ی کشسان خطی، و خاک با یک حالت خمیری پیش‌رفته مدل سازی شد. المان‌های کلوین (فنر و میراگر) در هر سه جهت (X، Y و Z) برای شبیه‌سازی محیط خاک نامحدود به کار رفت. مدل توسط مؤلفه‌ی شمالی - جنوبی شتاب زلزله‌ی الستترو، در سنگ بستر بارگذاری شد. جدایی شمع و خاک تنها در راستای بارگذاری مورد ملاحظه قرار گرفت و از اصطکاک بین شمع و خاک صرف‌نظر شد. در هر نقطه‌ی گوشه‌ی نتش نرمال در المان‌های خاک (در راستای بارگذاری) و فشار محدود کننده در آن عمق برای هرگام زمانی و در هر تکرار مقایسه می‌شوند. زمانی که نتش نرمال کششی بزرگ‌تر از نتش محدود کننده باشد «جدایی» اتفاق می‌افتد. تحلیل عددی انجام شده توسط این محققین میان این نکته بود که سرعت جدایش، در زمان استفاده از مدل خاک کشسان بسیار بالاتر از مدل خمیری است، اگرچه پاسخ غیرخطی خاک در سیستم خاک - شمع اثر زیادی بر فرکانس‌های تحریک پایین دارد.

به‌دلایل مختلف -- اعم از محدودیت نرم‌افزارهای موجود یا عدم دسترسی به ساخت‌افزاری توانا برای مدل سازی تغییر مشخصات خاک -- در تحقیقات انجام شده ساده‌سازی‌ها دور از واقعیت بوده است. با توجه به امکانات نرم‌افزاری موجود برای انجام بررسی‌های جدید و دامنه‌دار درخصوص تأثیر تغییر شرایط محیطی در اطراف شمع‌ها بر رفتار متقابل خاک - شمع، بررسی تأثیر تغییر مشخصات خاک پیرامون شمع به‌لحاظ ارائه شرایط واقع بینانه‌تر طبیعت خاک و نیز میزان تأثیر فصل مشترک جدایی دولا به خاک مختلف بر پایداری شمع در این نقاط بحرانی تأثیرگذار، از اهمیت به‌سزایی برخوردار خواهد بود.

این تحقیق با هدف بررسی تأثیر تغییرات مشخصات خاک بر رفتار شمع و خاک تحت بار زلزله است. مدل سازی این مسئله ما را به بررسی اندرکنش سینماتیکی خاک - شمع سوق می‌دهد. اثرات سینماتیکی توسط «فرکانس وابسته به توابع انتقال» شریع می‌شود. تابع انتقال به صورت نسبت حرکت پی به حرکت میدان آزاد در غیاب یک سازه در حوزه‌ی فرکانسی تعریف می‌شود.<sup>[۱۴]</sup> برای بررسی این مسئله، نتایج حاصل از تحلیل به صورت تاریخچه‌ی زمانی شتاب و نیز تبدیل فوریه‌ی سریع<sup>۱۵</sup> شتاب سرشمع نسبت به میدان آزاد در حوزه‌ی فرکانسی، ارائه می‌شوند. در شکل ۱ نمایی کلی از مدل مورد نظر برای تحقیق حاضر نشان داده شده است که در آن، شمع بتنی در جاریز که در لایه‌ی خاک رس نرم قرار گرفته، روی لایه‌ی خاک رس سخت -- که در مدل سازی‌های مختلف در ارتفاع‌های مختلف نسبت به هم قرار می‌گیرند -- تحت بار زلزله تحلیل می‌شوند؛ و در نهایت بحرانی ترین حالت مدل سازی مشخص خواهد شد.

جدول ۱. مشخصات خاک رس مورد استفاده در تحلیل‌ها.

(MPa)	مدول کشسانی خاک	۲۰
(KN/m <sup>3</sup> )	وزن مخصوص غوطه‌وری	۱۱/۸
	ضریب پواسون	۰/۴۵
(KPa)	چسبندگی مؤثر	۳۴
	زاویه اصطکاک داخلی	۱۶/۵ <sup>۰</sup>
	زاویه اتساع	صفر
(m/s)	سرعت موج برشی	۶۵

جدول ۲. مشخصات شمع به کار رفته در تحلیل‌ها.

(m <sup>۳</sup> )	ممان اینرسی	۰/۰۳۰۶
(MPa)	مدول کشسانی	۲۰۰
	ضریب پواسون	۰/۱۵
(m <sup>۲</sup> )	سطح مقطع	۰/۱۹۶

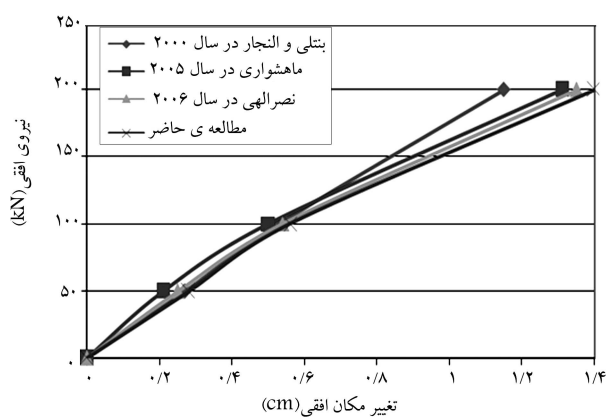
ارائه شده است. اختلاف اندازه بین نتایج حاضر و تحقیق‌های پیشین بهدلیل در نظر گرفتن رفتار خاک موهر-کولمب در مطالعه‌ی حاضر، و نیز جلوگیری از پیچش سرشمع در مدل حاضر است. نتیجه‌ی کلی هم‌خوانی خوبی با مطالعات گذشته نشان می‌دهد.

## ۲.۱.۱. صحبت دینامیکی

برای بررسی صحبت دینامیکی مدل تحت بار زلزله، به تحلیلی که محققین برای بررسی اثرات خمیرسانی بر مدل سه‌بعدی تحلیل ارتعاشی شمع منفرد انجام داده‌اند، [۱۲ و ۱۱، ۷] استناد کرده‌ایم.

### ۱.۱.۱. پارامترها و ابعاد مدل

پارامترهای خاک رس و شمع بتنی به ترتیب مطابق جدول ۳ و ۴ است. مدل تحلیلی، شامل یک لایه خاک رس بهارقاع ۱۰ متر و شمع از نوع بتنی در جاریز با مقاومت اتکابی است. ابعاد مدل و نوع مشبندی نیز مطابق تحلیل مزبور است. پارامترهای فشرهای اتصالی<sup>۱۱</sup> مورد استفاده در این مدل (جدول ۵)، در محدوده‌ی



شکل ۲. ارزیابی صحبت مدل در حالت استاتیکی، برای شمع منفرد.

ناپایداری سیستم وجود دارد. در حالت واقعی، مقداری از انرژی کرنشی به انرژی جنبشی تبدیل شده و پس از تابش از منبع تلف می‌شود. نرم افزار FLAC 3D این روند را مستقیماً ادامه می‌دهد زیرا به خاطر داشتن اینرسی در خود، انرژی جنبشی را تولید کرده و تلف می‌کند. در جهت مقابل طرح هایی که در برداشتهای اینرسی نیستند برای بررسی رفتار سیستم‌های با ناپایداری فیزیکی باید از فرازنهای عددی کمک بگیرند و اگرچه این روند برای پیشگیری از ناپایداری عددی مفید است، لیکن مسیر طی شده از نظر فیزیکی واقعی نیست. در این برنامه از قانون حرکت به طور کامل استفاده شده و کاربر نیز از آنچه انجام می‌دهد احساس فیزیکی پیدا می‌کند.<sup>[۱۰]</sup> از جمله کاستی‌هایی که در مطالعات انجام شده در گذشته بر روی بررسی رفتار شمع در خاک‌ها وجود داشت، عدم در نظر گرفتن محیط خاک به صورت چندلایه، و عدم تحلیل مسئله‌ی اندرکش تحت بار زلزله، به علت زمان بر بودن و پیچیده‌تر بودن مسئله تحت بار زلزله نسبت به بار هارمونیک بود. در این تحقیق سعی شده است تا با رفع این کاستی‌ها به بررسی رفتار متقابل خاک - شمع، تحت بار زلزله، پرداخته شود. برای رسیدن به این هدف از نرم افزار تقاضاً محدود FLAC 3D که از تامی قابلیت‌های فوق برخوردار است و در آن زمینه‌ها انعطاف‌پذیری بالایی دارد، استفاده می‌شود. همچنین با افزایش توانایی سخت افزارهای رایانه‌ی در دسترس، مشکل زمان بر بودن تحلیل تحت بار زلزله نیز تا حد زیادی حل شده است. اگرچه استفاده از این نرم افزار به دلیل لزوم رعایت کدنویسی از طریق خط فرمان و نیز رعایت نکات فنی و جزئیات فراوان در مسیر مدل‌سازی و تحلیل نسبتاً مشکل است، کاربرد آن در انجام تحقیقات در زمینه‌های مختلف تخصصی مکانیک خاک بسیار گسترده است.

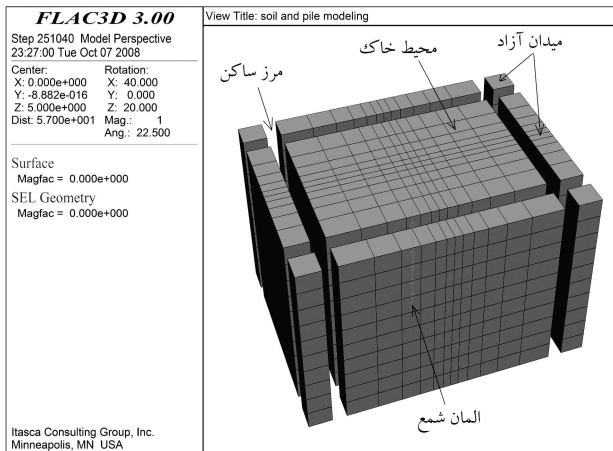
## ۲. صحبت مدل

شمع موردنظر به طول ۱۰ متر و مقطع دایروی به قطر ۵/۰ متر، و از نوع باربر انتهایی با فرض گیردار بودن انتهای شمع که در خاک رس بهارقاع ۱۰ متر روی سنگ سنتگ قرار دارد، مدل‌سازی می‌شود.

### ۱.۱. صحبت استاتیکی

برای بررسی صحبت استاتیکی مدل، از مشخصات خاک و شمع به کار رفته در تحقیق انجام شده توسط دیگر محققین استفاده می‌شود<sup>[۱۱، ۸، ۷]</sup> (جدول ۱ و ۲)، و نتایج به دست آمده با نتایج حاصل از این تحقیق مقایسه می‌شوند. در مطالعه‌ی حاضر از مدل رفتاری موهر - کولمب برای مدل‌سازی حالت خمیری استفاده شده است.

در شکل ۲ مشاهده می‌شود که نتایج حاصل از تحلیل استاتیکی شمع در مطالعه‌ی حاضر در تمامی حالات با نتایج حاصل از تحلیل استاتیکی انجام شده در تحقیق‌های محققین دیگر کاملاً مطابقت دارد. همچنین در برگزاری استاتیکی یک حالت برای خاک در نظر گرفته شده است که عبارت است از رفتار خمیری با فاصله بین خاک و شمع. در این حالت مطالعه شده تحت بار وارد کنترل شده است. یادآور می‌شود برای رفتار خمیری در مطالعات برخی از محققین<sup>[۱۱، ۸]</sup> از مدل رفتاری دراگر-پراگر، و در مطالعات محققین دیگر<sup>[۱۱]</sup> از مدل رفتاری سطح یگانه‌ی سلسه‌های مراتسی (Hiss) استفاده شده است. در این شکل، منحنی تغییر مکان سرشمع در مقابله اعمال نیروی استاتیکی خاک برای مطالعه‌ی حاضر، و نیز نتایج مطالعات ذکر شده

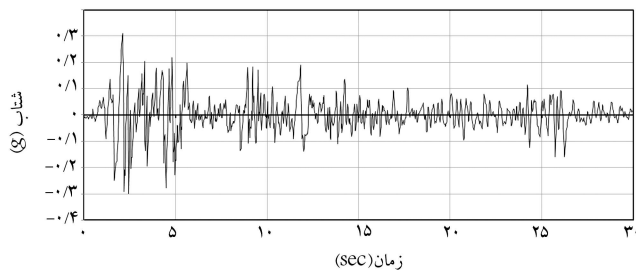


شکل ۳. مدل خاک و شمع برای خاک یک‌لایه.

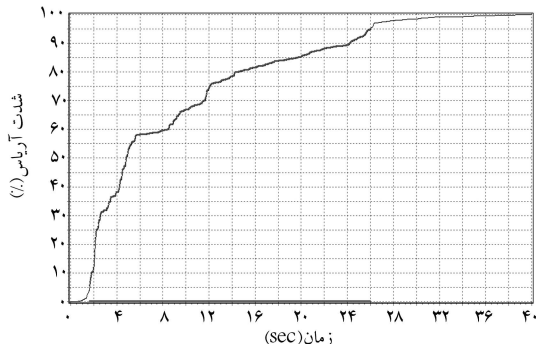
لازم به ذکر است که FLAC 3D، مرز ساکن و میدان آزاد اطراف مدل را پس از قراحت دستور مربوط به این دو حالت، به صورت کامل و با سرعت مناسب در اطراف مدل ایجاد می‌کند.

#### ۲.۲.۲. شتاب‌نگاشت موردنگاه استفاده

بار زلزله‌ای الستترو در ۳۰ ثانیه‌ی اول از رکوردها به مدل اعمال شد تا رفتار شمع و خاک پیرامون آن نسبت به رکوردهای مختلف مورد ارزیابی قرار گیرند (شکل ۴). SiesmoSignal زمان مؤثر و نمودار طیف فوریه‌ی این شتاب‌نگاشت توسط نرم‌افزار شمع محاسبه، و در ادامه ارائه شده است (شکل ۵ و ۶). زمان تحلیل تحت هریک از شتاب‌نگاشت‌ها طوری در نظر گرفته شده که زمان مؤثر محاسبه شده را به طور کامل پوشش دهد.



شکل ۴. شتاب‌نگاشت زلزله‌ای الستترو (g).



شکل ۵. زمان‌های مؤثر محاسبه شده زلزله‌ای الستترو توسط نرم‌افزار .SiesmoSignal

جدول ۳. مشخصات خاک رس نرم.

(Kg/m³)	چگالی	۱۶۱۰
	نسبت پواسون (ν)	۰,۴۲
(KPa)	چسبندگی (C)	۳۴
	زاویه اصطکاک (φ)	۱۶,۵
	زاویه اتساع (Ψ)	صفر
(KPa)	کشش (T)	$۱,۱۴۸ \times 10^2$
(KPa)	مدول برشی (G)	$۴,۱۴۸ \times 10^3$
(KPa)	مدول بالک (K)	$۲۴,۵۴ \times 10^3$

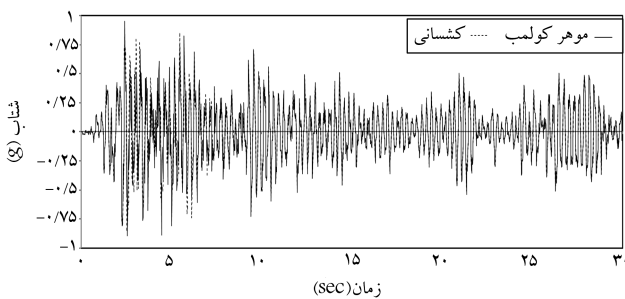
جدول ۴. مشخصات شمع بتونی با مقطع مربع.

(KPa)	مدول کشسانی (E)	$۲,۵ \times 10^7$
(Kg/m³)	چگالی	۲۴۰۰
	نسبت پواسون (ν)	۰,۲۵
(m)	محیط شمع (P)	۲
(m³)	سطح مقطع (A)	۰,۲۵
(m³)	مسان ایزوتropی (I_y)	$۵,۲۱ \times 10^{-۳}$
(m³)	I_z	$۵,۲۱ \times 10^{-۳}$
(m³)	J	$۱۰,۴۲ \times 10^{-۳}$

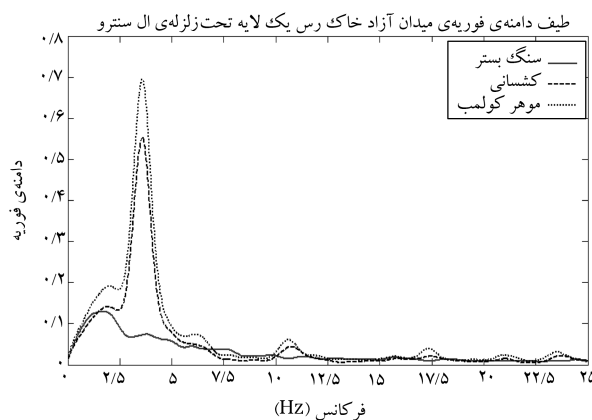
جدول ۵. مشخصات فنرهای اتصالی نرمال و برشی شمع.

(KPa)	Cs-sk	$۱ \times 10^7$
(N/m)	Cs-scoh	$۱ \times 10^{10}$
(Deg)	Cs-sfric	۳۰
(KPa)	Cs-nk	$۱ \times 10^7$
(N/m)	Cs-ncoh	$۱ \times 10^{10}$
(Deg)	Cs-nfric	۳۰

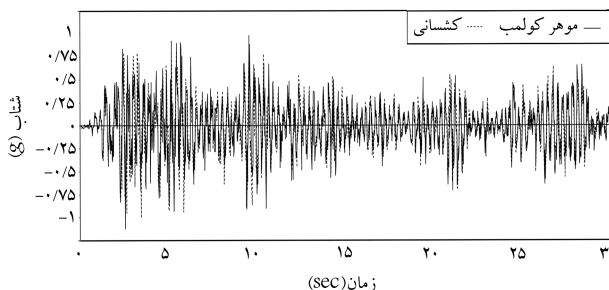
مقادیر تحلیل حساسیت انجام شده ببروی این پارامترهاست که در سال ۱۹۹۹ انجام شد.<sup>[۱۲]</sup> با توجه به این نکته‌ی مهم که پارامترهای سختی و چگالی خاک تا حد بسیار زیادی با مدل حاضر مطابقت دارد، و نیز طبق تحلیل حساسیت انجام شده در سال ۱۳۸۵<sup>[۱۳]</sup> پارامترهای مدل حاضر تا حد زیادی قابل قبول است. ابعاد مدل ۱۲ متر در جهت X، ۸ متر در جهت Y و ۱۰ متر ارتفاع در جهت Z، در نظر گرفته شده است (شکل ۳). شمع بتونی در جهت زمین از نوع با مقاومت نوک است و در مرکز مدل قرار دارد. پاسخ شمع و میدان آزاد به دو صورت تاریخچه‌ی زمانی و طیف فوریه ارائه شده، که بیان گر اندرکنش سینماتیکی شمع منفرد است. چنان‌که در شکل ۳ دیده می‌شود، در مرز خارجی محیط خاک، از مرزهای ساکن برای جلوگیری از بازگشت امواج دینامیکی زلزله به محیط داخلی خاک استفاده شده است؛ همچنین مدل سازی میدان آزاد برای جلوگیری از هرگونه تأثیر حضور سازه‌های اطراف در رفتار شمع و اندرکنش سینماتیکی آن با خاک و درنتیجه واقعی‌تر ساختن نتایج انجام گرفته است.



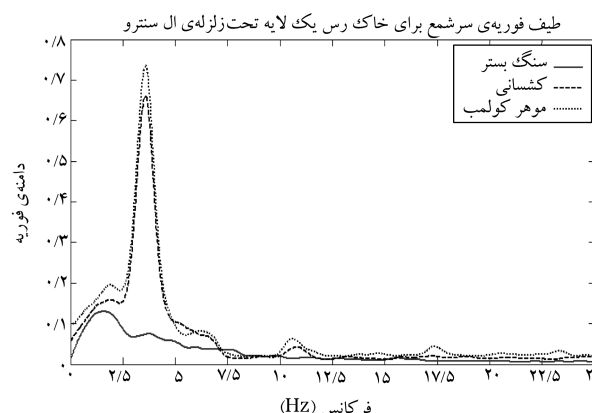
شکل ۸. مقایسه‌ی شتاب پاسخ میدان آزاد، مدل خاک کشسان و موهر-کولمب.



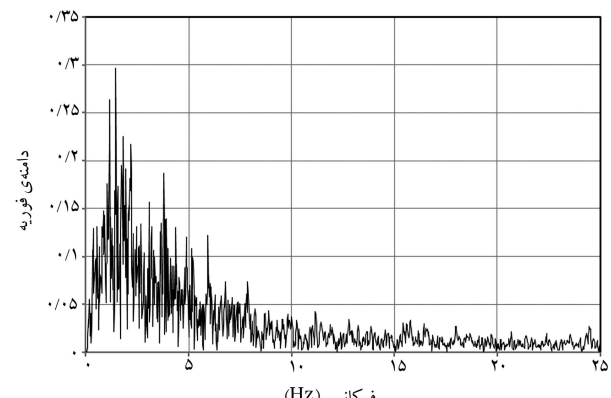
شکل ۹. مقایسه‌ی طیف فوریه‌ی هموارشده‌ی میدان آزاد، مدل خاک کشسان و موهر-کولمب.



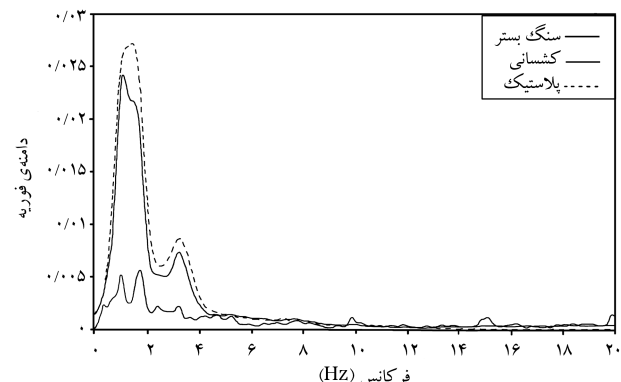
شکل ۱۰. مقایسه‌ی شتاب پاسخ و طیف فوریه‌ی سرشع، مدل خاک کشسان و موهر-کولمب.



شکل ۱۱. مقایسه‌ی طیف فوریه‌ی هموارشده‌ی سرشع، مدل خاک کشسان و موهر-کولمب.



شکل ۶. طیف فوریه‌ی زلزله‌ی الستترو.

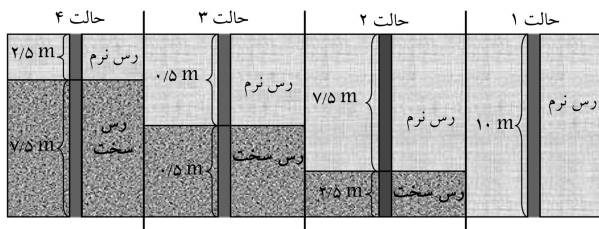


شکل ۷. مقایسه‌ی شتاب پاسخ و طیف فوریه‌ی میدان آزاد مدل خاک کشسان و دراکر-پراگر به دست آمده از تحقیقات ماہشوایر.<sup>[۷] و [۱۱]</sup>

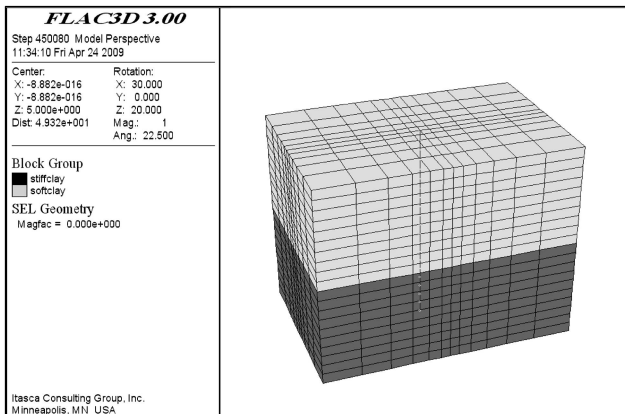
### ۲.۲.۳. مقایسه‌ی نتایج حاصله با نتایج تحقیقات گذشته

پس از به دست آوردن پاسخ خطی و غیرخطی سه نوع مدل رفتاری خاک کشسان، دراکر-پراگر و نوعی مدل خمیری خاص با سخت شدگی کرنشی به نام HISS تحت بار زلزله، محققین به این نتیجه رسیدند که دامنه‌های شتاب بیشینه‌ی میدان آزاد حالات کشسان و خمیری تقریباً مشابه است، ولی در نقاط اوج برای حالت خمیری بیشتر است (شکل ۷).

با انجام تحلیل حاضر برای بررسی صحبت اعتبار مدل سه‌بعدی تحلیل ارتعاشی شمع منفرد،<sup>[۷]</sup> پاسخ شتاب (g) طیف فوریه‌ی هموارشده با ضریب مقیاس ۱ در شکل‌های ۸ تا ۱۱ آمده است. در تمامی پاسخ‌های شتاب به دست آمده از تحلیل، این نکته محسوس است که دامنه‌های شتاب بیشینه برای حالات کشسان و موهر-کولمب تقریباً نزدیک‌اند ولی در اکثر رؤوس، دامنه‌ی شتاب برای حالت موهر-کولمب بیشتر است. مسئله‌ی «قویت دامنه‌ی شتاب بیشینه» بر اهمیت انجام تحلیل غیرخطی تأکید می‌کند. تفاوت یادشده در طیف‌های فوریه‌ی هموارشده‌ی حاصل از پاسخ میدان آزاد و سرشع مشخص‌تر است. در تمامی حالات می‌توان شاهد بود که فرکانس غالب پاسخ‌های به دست آمده بیشتر از فرکانس غالب حرکت ورودی سنگ بسته است و تمامی پیک‌های فوریه در نزدیکی فرکانس طبیعی لایه‌ی خاک رس نرم، یعنی حدود ۳/۵ هرتز، اتفاقی می‌افتد که نزدیک فرکانس طبیعی دوم موج ورودی است. همچنین مشاهده می‌شود که در هر دو حالت میدان آزاد و سرشع در فرکانس‌های بالاتر از ۶ هرتز، از تفاوت بیش از حد در دامنه‌ی فوریه کاسته شده است. این نکته نشان‌گر وابستگی غیرقابل انکار تحلیل‌های دینامیکی اندرکنش به فرکانس ارتعاش محیط است و بر اهمیت بررسی در حوزه‌ی فرکانسی تأکید دارد.



شکل ۱۲. حالات مختلف مدل‌سازی مشخصات خاک.



شکل ۱۳. نمونه‌بی از مدل خاک و شمع برای خاک دولایه با ارتفاع خاک رس سخت ۵ متر.

### ۳.۳. بررسی نتایج حاصل از مدل‌سازی

پس از بررسی صحت مدل دینامیکی، به بررسی نتایج به دست آمده از تحلیل حاصله از تغییرات ارتفاعی لایه‌های خاک می‌پردازیم. در این بخش چون مدل رفتاری موهر-کولسب نمای واضح‌تری از بررسی اندرکنش خاک - شمع در بخش بررسی صحت اعتبارانه می‌دهد، برای تحلیل خاک از این مدل رفتاری استفاده می‌شود.

#### ۳.۳.۱. مقایسه‌ی شتاب و طیف فوریه‌ی میدان آزاد و سرشنع چهار حالت مدل‌سازی

افزایش سختی خاک منجر به افزایش مجموعه دامنه‌های بیشینه شتاب می‌شود (شکل ۱۴). این افزایش را می‌توان به کاهش میرایی در خاک‌های سخت -- نسبت به خاک‌های نرم -- نسبت داد. افزایش دامنه‌ی شتاب سرشنع نسبت به میدان آزاد نیز ناشی از همین افزایش سختی شمع نسبت به خاک پیرامونی است. یادآور می‌شود در روند افزایش سختی خاک از ۲/۵ متر به ۷/۵ متر، نسبت شتاب بیشینه‌ی سرشنع به میدان آزاد در ثانیه‌ی ۲/۵ (بیشترین دامنه) از حالت ۱ تا ۴ به ترتیب ۱/۵۳، ۱/۷، ۱/۸۳، ۱/۸۸ است که از ۵ درصد افزایش نشان می‌دهد.

این روند در پیک‌های دیگر پاسخ شمع نسبت به میدان آزاد نیز دیده می‌شود. در شکل‌های ۱۵ و ۱۶ مشاهده می‌شود که افزایش سختی خاک منجر به افزایش فرکانس غالب محیط خاک - شمع شده است؛ و مشخص است که از فرکانس ۳ هرتز برای خاک یکلایه، تا حدود ۳/۸ هرتز برای خاک دولایه با ۲/۵ متر رس سخت، ۴/۲ هرتز برای خاک دولایه با ۵ متر رس سخت، و ۴/۵ هرتز برای خاک دولایه با ۷/۵ متر رس سخت متغیر است. این مسئله در فرکانس‌های غالب دوم حالت‌های مدل‌سازی نیز تا حد بسیاری مشهود است. نتیجه‌ی فوق برای استنادی تحلیل ارتعاشی مدل به فرکانس ارتعاش محیط تأکید دارد.

در بررسی دامنه‌ی هموارشده‌ی فوریه (اشکال ۱۵ و ۱۶) مشاهده می‌کنیم که

نکته‌ی حائز اهمیت دیگر که از بررسی نمودارهای طیف فوریه می‌توان استخراج کرد افزایش دامنه‌ی فوریه‌ی سرشنع نسبت به میدان آزاد است که نشان می‌دهد حضور شمع در محیط باعث افزایش دامنه‌ی شتاب و آشفتگی پاسخ شمع نسبت به میدان آزاد، و درنتیجه افزایش اندرکنش سیماناتیکی شمع و خاک شده است. این مسئله به خصوص در مدل تحلیل شده تحت شتاب نگاشته‌های با زمان مؤثر ملموس‌تر است. نمودارهای حاصله نشان‌گر سازگاری نتایج حاصل از تحلیل حاضر با نتایج تحلیل‌های پیشین است. همچنین، نتایج بررسی حاضر نشان‌دهنده‌ی اهمیت بررسی اندرکنش خاک و شمع با در نظر گرفتن مدل خاک به صورت خمیری است.

### ۳. تحلیل تغییر مشخصات خاک

#### ۳.۱. پارامترها و ابعاد مدل

پارامترهایی که در این تحلیل برای خاک و شمع مورد استفاده قرار گرفته‌اند، همان پارامترهایی هستند که در تحلیل‌های انجام‌گرفته توسط محققین پیشین، به منظور بررسی رفتار شمع از دیدگاه‌های دیگر مورد استفاده قرار گرفته است.

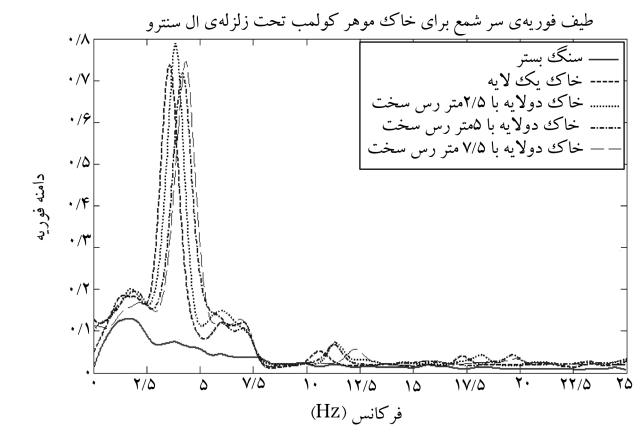
در تمامی این مطالعات محیط خاک به صورت محيط همگن در نظر گرفته شده است و شمع از نوع بتنی در جاریز با مقاومت انکابی است. می‌توان نتایج تحلیل‌ها را از طریق مقایسه‌ی نتایج به دست آمده با نتایج موجود خاک یکلایه مورد ارزیابی قرار داد. این پارامترها در جدول‌های ۴ تا ۶ ارائه شده است.<sup>[۱۱] و [۷]</sup>

#### ۳.۲. مرحله‌ی مدل‌سازی

کلیه‌ی تحلیل‌های مربوط به تغییر مشخصات خاک به دو دسته تقسیم شده‌اند: ۱. خاک یکلایه؛ ۲. خاک دولایه. در «خاک یکلایه» ابعاد مدل خاک مورد نظر به صورت فضایی مکعبی به طول ۱۲ متر در جهت x (Global)، عرض ۸ متر در جهت z، و ارتفاع ۱۰ متر در جهت Z در نظر گرفته شده است. خاک دولایه به صورت یک لایه رس نرم بر روی لایه رس سخت که پارامترهای مکانیکی آن‌ها در جدول‌های ۴ تا ۶ شرح داده شده است. چنان‌که در شکل ۱۲ مشاهده می‌شود، تغییرات ارتفاعی این دولایه به ترتیب در ارتفاع‌های ۲/۵، ۵، ۷/۵ و ۱۰ متر لحاظ شده است. نمونه‌بی از این تغییر که توسط نرم افزار ایجاد شده در شکل ۱۳ آمده است. برای این قسمت از تحلیل سعی شده تا با افزایش تعداد میش‌ها در ارتفاع مدل حل دقیق‌تری از مسئله در این ارتفاع انجام گیرد.

جدول ۶. مشخصات خاک رس.

مشخصه	رس نرم	رس سخت
(kg/m <sup>3</sup> ) چگالی	۱۶۱۰	۱۸۰۰
(%) نسبت پواسون	۰/۴۲	۰/۴
(kpa) چسبندگی	۲۴	۳۴
(%) اصطکاک	۱۶/۵	۱۶/۵
(Psi) اتساع	صفرا	صفرا
(kpa) کشش	$1,148 \times 10^2$	$1,148 \times 10^2$
(kpa) مدول برشی	$4,148 \times 10^2$	$10,714 \times 10^2$
(kpa) مدول بالک	$24,54 \times 10^2$	$50 \times 10^2$



شکل ۱۶. مقایسه‌ی طیف دامنه‌ی فوریه‌ی هموارشده‌ی سر شمع برای چهار حالت شکل ۱۲.

در حالت  $2/5$  متر رس سخت با بحرانی ترین حالت — نسبت به سه حالت دیگر — مواجه‌ایم که نشان‌گر محتوای فرکانسی غنی‌تر شتاب سر شمع و میدان آزاد در این حالت است.

مشاهده می‌شود که طیف دامنه‌ی فوریه‌ی هموارشده‌ی پاسخ شمع برای حالت  $5$  متری، در مقایسه با حالت یک لایه، کمتر از دو حالت خاک دولایه دیگر است. می‌توان گفت که در دو حالت دیگر خاک دولایه، یعنی  $2/5$  و  $7/5$  متر رس سخت، توزیع نامتقارن سختی خاک منجر به افزایش دامنه‌ی فوریه و حالتی بحرانی تر شده است. پس مشخصات نامتقارن خاک تأثیر زیادی در بررسی رفتار ارتعاشی خاک — شمع دارد.

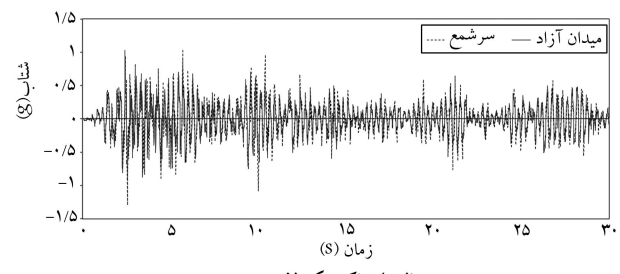
### ۲.۳.۳. مقایسه‌ی نیروی برشی و لنگر تولید شده در شمع تحت چهار حالت مدل‌سازی

با مقایسه‌ی لنگر بیشینه در سه حالت خاک دولایه می‌توان مشاهده کرد که مقدار لنگر بیشینه در حالت  $2$  حدود  $93310$  نیوتون متر، در حالت  $3$  برابر  $61190$  نیوتون متر، و برای حالت  $4$  برابر  $59200$  نیوتون متر است. از این مقدادر می‌توان نتیجه گرفت که با افزایش ارتفاع لایه‌ی رس نرم و ایجاد تعییر مکان‌های بیشتر، نیرو و لنگر بیشتری به شمع اعمال می‌شود. به همین دلیل محل تولید لنگر بیشینه در حالت‌های  $2$  و  $3$  در لایه‌ی نرم است ولی در حالت  $4$  با کاهش تأثیر لایه‌ی نرم در بالابردن میزان جابه‌جایی و تأثیر بیشتر لایه‌ی سخت در عملکرد محیط، لنگر بیشینه در لایه‌ی سخت تولید می‌شود. طبیعی است که برای هر چهار حالت، نیروی برشی بیشینه‌ی ناشی از زلزله در نزدیک سنگ بستر ایجاد شود، اما مشاهده می‌شود که نیروی برشی برای خاک دولایه در حالت  $2$  به دلیل وجود لایه‌ی نرم بیشتر، از دو حالت دیگر بیشتر است. این مطلب مؤید نتایج حاصل از بررسی طیف فوریه‌ی شکل‌های  $15$  و  $16$  است، که نشان‌گر محتوای فرکانسی بیشتر حالت  $2/5$  متر رس سخت است. از نتایج به دست آمده در این بخش می‌توان نتیجه گرفت که حالت  $2$  در تحلیل‌های انجام شده به بحرانی ترین حالت در زمان اعمال بار زلزله است.

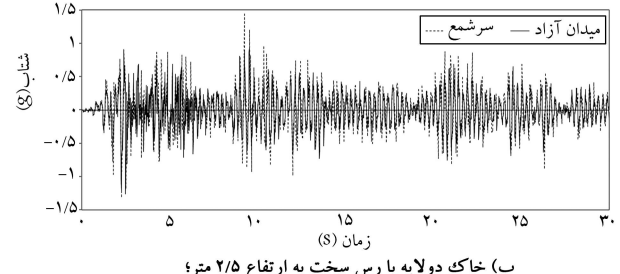
کمترین میزان اندرکش، نیروی برشی و لنگر بیشینه و تعییر شکل نسبی، مربوط به حالت خاک یک لایه است. این مستانه نشان‌گر اهمیت در نظر گرفتن لایه‌بندی و تأثیر نحوی تعییر مشخصات خاک در بررسی‌های ارتعاشی اندرکش و طراحی شمع در برابر بارهای لرزه‌ی است.

### ۲.۳.۴. مقایسه‌ی جابه‌جایی شمع تحت چهار حالت مدل‌سازی

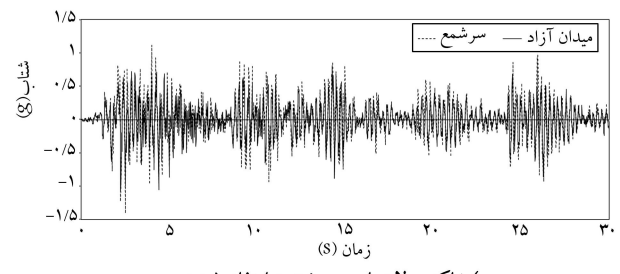
مقایسه‌ی نمودار جابه‌جایی بیشینه در طول شمع حاکی از بیشترین میزان جابه‌جایی



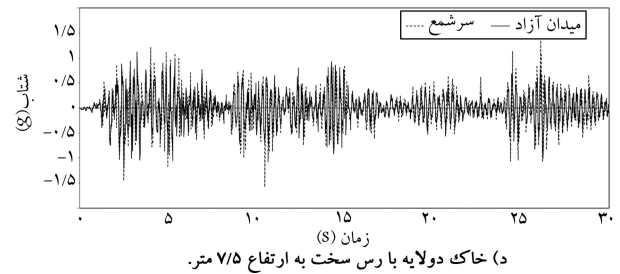
الف) خاک یک لایه؛



ب) خاک دولایه با رس سخت به ارتفاع  $2/5$  متر؛

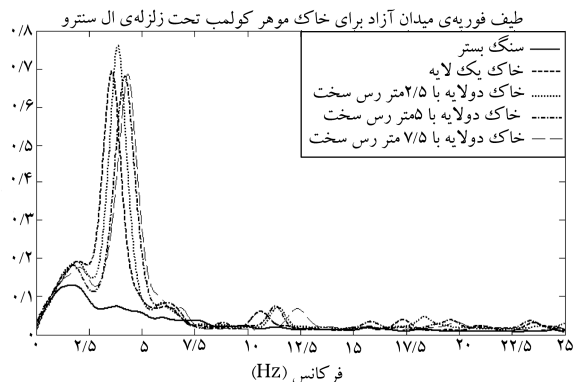


ج) خاک دولایه با رس سخت به ارتفاع  $5$  متر؛

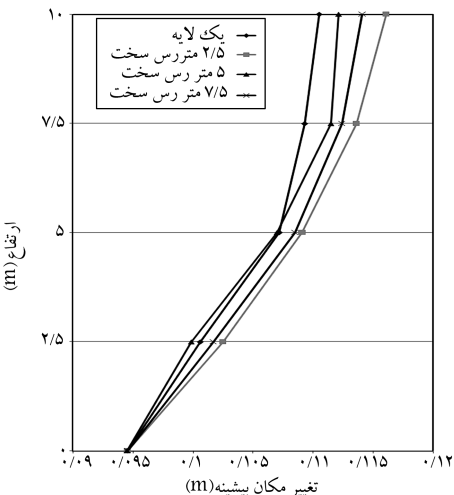


د) خاک دولایه با رس سخت به ارتفاع  $7/5$  متر.

شکل ۱۴. مقایسه‌ی تاریخچه‌ی شتاب میدان آزاد و سر شمع برای حالت خاک موهر کولب تحت زلزله‌ی ال سنترو.



شکل ۱۵. مقایسه‌ی طیف دامنه‌ی فوریه‌ی هموارشده‌ی میدان آزاد برای چهار حالت شکل ۱۲.



شکل ۱۷. جابه‌جایی پیشینه‌ی شمع در ارتفاع‌های مختلف از سنگ بستر در چهار حالت مدل‌سازی.

۱. افزایش سختی خاک منجر به افزایش دامنه‌های پیشینه شتاب می‌شود. این افزایش را می‌توان به کاهش میزانی در خاک‌های سخت نسبت به خاک‌های نرم نسبت داد.

۲. دامنه‌ی شتاب سرشمع نسبت به میدان آزاد به دلیل افزایش سختی شمع نسبت به خاک پیرامونی بیشتر است و نشان‌گر افزایش اندرکش خاک شمع است.

۳. افزایش سختی خاک منجر به افزایش فرکانس غالب محیط خاک - شمع شده است. این مسئله در فرکانس‌های غالب اول و دوم حالت‌های مدل‌سازی تا حد بسیاری مشهود است. نتیجه‌ی فوق بر ابستگی تحلیل ارتعاشی مدل به فرکانس ارتعاش محیط تأکید دارد.

۴. با مشاهده طیف فوریه‌ی هموارشده سرشمع و میدان آزاد مشاهده می‌شود که دامنه‌ی فوریه در حالت ۲/۵ متر رس سخت بیشترین مقدار است. این امر نشان دهنده محتوای فرکانسی غنی تر شتاب سرشمع و میدان آزاد در این حالت است (بحرانی‌ترین شکل مدل‌سازی). در حالی که در حالت ۵ متری کمترین مقدار به دست می‌آید که می‌توان گفت توزیع نامقarn سختی خاک منجر به افزایش دامنه‌ی فوریه و حالتی بحرانی‌تر شده است.

۵. از بررسی مقادیر نیروی برشی و لنجگر پیشینه به این نتیجه می‌رسیم که با افزایش ارتفاع لایه‌ی رس نرم و ایجاد تغییر مکان‌های بیشتر، نیروی و لنجگر بیشتری به شمع اعمال می‌شود. با مقایسه این مقادیر در حالت‌های مختلف مدل‌سازی، مشاهده می‌شود که هر دو مقدار در حالت ۲/۵ متر رس سخت از دیگر حالت‌ها بیشتر است. این امر مؤید نتیجه‌ی به دست آمده از نمودارهای طیف فوریه است.

۶. در تمامی نمودارهای به دست آمده از تحلیل چهار حالت، مشاهده می‌شود که کمترین میزان اندرکش، نیروی برشی و لنجگر پیشینه و تغییر شکل نسبی، مربوط به حالت خاک یک‌لایه است. این مسئله نشان‌گر اهمیت در نظر گرفتن لایه‌بندی و تأثیر نحوی تغییر مشخصات خاک در بررسی‌های ارتعاشی اندرکش و طراحی شمع در برابر بارهای لرزه‌بی است.

## پانوشت

1. interface
2. fast fourier transform
3. Kobe earthquake
4. Northridge earthquake
5. Bhuj
6. Chi-Chi
7. Kocaeli
8. inertial
9. fast lagrangian analysis of continual in 3 dimensions (FLAC 3D)
10. hierarchical single surface
11. coupling spring

## منابع

1. Balendra, S., *Numerical Modeling of Dynamic Soil-Pile-Structure Interaction*, Thesis of Master of Science in

**۴. نتیجه‌گیری**  
در این تحقیق پس از انجام تحلیل دینامیکی و به دست آوردن تاریخچه‌ی زمانی شتاب پاسخ سرشمع و میدان آزاد، و نیز طیف دامنه‌ی فوریه‌ی این شتاب‌ها در چهار حالت مشخصات خاک مشاهده شد که:

- Civil Engineering, Rodriguez, Department of Civil and Environmental Engineering of Washington State University (2005).
2. Wu, G., *Dynamic Soil-Structure Interaction: Pile Foundations and Retaining Structures*, Ph.D. Dissertation, University of British Columbia (1994).
3. Finn, L.W.D.; Wu, G. and Thavaraj, T. "Soil-pile-structure interactions", *Geotechnical Special Publication*, **70**, pp. 1-22 (1997).
4. Finn, W.D.L. "Dynamic analysis in geotechnical engineering", *Proceedings, Earthquake Engineering and Soil Dynamics II - Recent Advances in Ground Motion Evaluations*, *Geotechnical Special Publication*, ASCE, **20**, pp. 523-591 (1988).
5. Cai, Y.X.; Gould, P.L. and Desai, C.S. "Nonlinear analysis of 3D seismic interaction of soil-pile-structure system and application", *Engineering Structures*, **22**, pp. 191-199 (2000).
6. Zhang, J. "Simplified finite element modeling of nonlinear dynamic pile-soil interaction", *Retrieved*, (February 10 2000).

7. Maheshwari, B.K.; Truman, K.Z.; El Naggar, M.H. and Gould, P.L. "Three-dimensional finite element nonlinear dynamic analysis of pile groups for lateral transient and seismic excitations", *Canadian Geotechnical Journal*, **41**, pp. 118-133 (2004).
8. نصرالهی، نسیم؛ بررسی اندرکنش شمع- خاک تحت بارهای لرزه‌یی هارمونیک، پایان‌نامه‌ی کارشناسی ارشد مهندسی عمران، خاک و پی، دانشکده‌ی مهندسی عمران دانشگاه تربیت مدرس (۱۳۸۵).
9. Makris, N.; Gazetas, G. and Delis, E. "Dynamic soil-pile-foundation-structure interaction: Records and predictions", *Geotechnique*, **46**(1), pp. 33-50 (1996).
10. Itasca, *Fast Lagrangian Analysis of Continua in 3 Dimensions (FLAC 3D)*, Ver. 3.0, Itasca Consulting Group, Inc. (2005); from: [www.itascacg.com](http://www.itascacg.com).
11. Maheshwari, B.K.; Truman, K.Z.; Gould, P.L. and El Naggar, M.H. "Three-dimensional nonlinear seismic analysis of single piles using finite element model: Effects of plasticity of soil", *International Journal of Geomechanics*, **5**(1), pp. 35-44 (2005).
12. Bentley, K.J. and El Naggar, M.H. "Numerical analysis of kinematic response of singl piles", *Canadian Geotechnical Journal*, **37**(6), pp. 1368-1382 (2000).
13. Detournay, C. and Hart, R. "FLAC and numerical modeling in geomechanics", *A.A.Balkema Publisher Co.*, p. 512 (1999).

